

CMP Performance Analysis with gem5

Javier Andres Tarazona Jimenez
Ingénieur Degree Programme STIC ENSTA Paris Paris, France javier-andres.tarazona@ensta-paris.fr

Jair Anderson Vasquez Torres
Ingénieur Degree Programme STIC ENSTA Paris Paris, France jair-anderson.vasquez@ensta-paris.fr

Maeva Noukoua
Ingénieur Degree Programme STIC ENSTA Paris Paris, France maeva-sandy.noukoua@ensta-paris.fr

Carlos adrian Meneses Gamboa
Ingénieur Degree Programme STIC ENSTA Paris Paris, France carlos-adrian.meneses@ensta.fr

Abstract—...

Index Terms—...

I. ARCHITECTURE MULTICOEURS AVEC DES PROCESSEURS SUPERSCALAIRES OUT-OF-ORDER (CORTEX A15)

A. Stratégie adoptée pour traiter la Q9

Pour répondre à la Q9 (faire varier le nombre de threads et la largeur superscalaire, puis produire un graphe 3D des cycles), nous avons mis en place une chaîne reproductible en quatre scripts :

- un script d'orchestration des simulations,
- un script gem5 SE adapté au modèle A15/o3,
- un script de post-traitement pour extraire les cycles et générer la visualisation,
- un script dédié à l'extraction/calcul de l'IPC.

Cette organisation permet de lancer une campagne complète, reprendre après erreur, tracer précisément chaque exécution, et générer automatiquement le CSV et la figure 3D demandés.

B. Script `run_q9_a15.sh`: orchestration de la campagne

Ce qu'il fait :

- lance toutes les combinaisons (`size`, `width`, `threads`) pour Q9 ;
- crée un répertoire de sortie par combinaison ;
- enregistre l'état d'avancement dans `state.tsv` (PENDING, DONE, FAILED) ;
- permet la reprise automatique après interruption/échec ;
- journalise chaque run dans un fichier de log dédié.

Comment il le fait :

- construit la commande `gem5` avec `-cpu-type=detailed`, `-o3-width`, `-num-cpus`, et les arguments du benchmark ;

- exécute les runs séquentiellement et s'arrête au premier échec pour conserver un diagnostic clair ;
- relit `state.tsv` au redémarrage pour ignorer les cas déjà DONE ;
- supporte un mode de mitigation OpenMP (`-omp-active-wait`) via un fichier d'environnement passé à `gem5`.

C. Script `se_a15.py`: configuration gem5 pour A15/o3

Ce qu'il fait :

- instancie un système `gem5` en mode syscall emulation (SE) ;
- configure des CPU de type `detailed` (modèle o3) ;
- applique la largeur superscalaire via `o3-width` ;
- exécute le binaire `test_omp` avec les paramètres `threads` et `size`.

Comment il le fait :

- s'appuie sur les options standard `gem5` (`Options.addCommonOptions`, `Options.addSEOptions`) ;
- crée `num-cpus` coeurs simulés et fixe `issueWidth` pour chaque cœur ;
- configure hiérarchie mémoire/caches et lance la simulation avec `Simulation.run()` ;
- prend en charge un fichier `-env` pour injecter des variables OpenMP/libgomp si nécessaire.

D. Script `plot_q9_cycles.py`: extraction et visualisation

Ce qu'il fait :

- lit `state.tsv` et sélectionne les runs DONE valides ;
- extrait les cycles à partir des `stats.txt` de `gem5` ;
- génère un CSV consolidé ;
- produit le graphe 3D demandé (threads, largeur, cycles).

Comment il le fait :

- vérifie les colonnes attendues de state.tsv et la présence des fichiers stats.txt ;
- récupère la métrique system.cpu*.numCycles et conserve la valeur maximale par run ;
- écrit q9_cycles.csv puis trace q9_cycles_3d.png avec Matplotlib ;
- signale explicitement les combinaisons manquantes/invalides non incluses dans la figure.

E. Script extract_q9_ipc.py: extraction de l'IPC

Ce qu'il fait :

- extrait sim_insts et numCycles des runs DONE ;
- calcule l'IPC pour chaque configuration (width, threads) ;
- exporte les résultats détaillés et les maxima.

Comment il le fait :

- lit state.tsv, filtre les runs valides et ouvre chaque stats.txt ;
- utilise max(system.cpu*.numCycles) en multi-cœur, avec fallback system.cpu.numCycles en mono-cœur ;
- écrit results/images/A15/q9_ipc.csv et results/images/A15/q9_ipc_max.csv.

F. Expérimentation

L'expérimentation a été lancée avec le script run_q9_a15.sh en conservant les valeurs par défaut du script : size=64, widths={2, 4, 8}, threads en puissances de 2, caches activés, et sorties dans results/A15.

Nous visions initialement une exploration jusqu'à 64 threads. En pratique, les exécutions à forte concurrence ont présenté des SIGSEGV de gem5 (même après le message Done du benchmark), conformément au diagnostic détaillé dans docs/report/sections/A15_boundary.md.

Il est important de préciser que ce Done est imprimé par test_omp et signifie uniquement que le calcul applicatif est terminé ; il ne garantit pas la fin correcte de toute l'exécution gem5, puisque l'état DONE n'est validé que si le processus gem5 se termine avec exit=0.

La mitigation -omp-active-wait (réduction de l'usage de la voie futex/mutex) a été déterminante pour stabiliser les cas en largeur 4, notamment à partir de threads=16 et au-delà ; sans cette mitigation, plusieurs combinaisons échouaient.

a) Résultats numériques (extraits de results/images/q9_cycles.csv):

Width	Threads	Cycles
2	2	1282419
2	4	768565
2	8	515053
2	16	391465
2	32	341535
4	2	801594
4	4	520290
4	8	381832
4	16	318392
4	32	302483
8	2	785008
8	4	510238
8	8	376396
8	16	315224
8	32	299612

TABLE I: Cycles d'exécution obtenus pour Q9 (size=64).

b) Visualisation 3D:

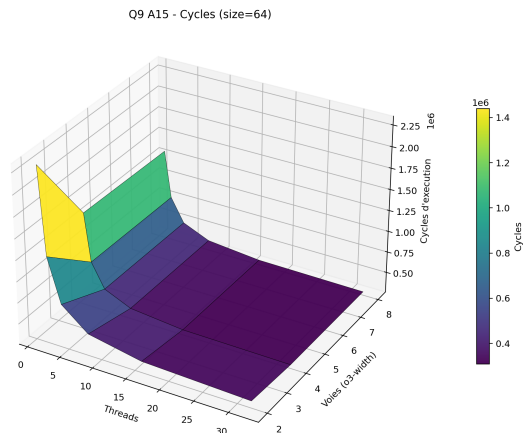


Fig. 1: Graphe 3D des cycles (X=threads, Y=voies/o3-width, Z=cycles).

c) Cycles de référence à 1 thread (extraits de results/images/q9_speedup.csv):

Width	Cycles (threads=1)
2	2308481
4	1365568
8	1334530

TABLE II: Cycles de référence utilisés pour le calcul du speedup.

d) Calcul du speedup et résultats: Le speedup est calculé, pour chaque largeur w , par rapport au cas threads=1 de la même largeur :

$$S(w, t) = \frac{C_{w,1}}{C_{w,t}}$$

où $C_{w,t}$ est le nombre de cycles de la configuration (w, t) . Dans notre cas, les valeurs obtenues sont celles de results/images/q9_speedup.csv :

Threads	Speedup (w=2)	Speedup (w=4)	Speedup (w=8)
1	1.000	1.000	1.000
2	1.800	1.704	1.700
4	3.004	2.625	2.616
8	4.482	3.576	3.546
16	5.897	4.289	4.234
32	6.759	4.515	4.454

TABLE III: Speedup obtenu pour Q9 (size=64), calculé à partir de q9_speedup.csv.

e) *IPC maximal par configuration*: Pour traiter la question sur l'IPC, nous avons créé le script `scripts/extract_q9_ipc.py`. Ce script lit `state.tsv` et les `stats.txt`, calcule :

$$IPC(w, t) = \frac{\text{sim_insts}(w, t)}{\text{cycles}(w, t)}$$

et écrit les résultats dans :

- `results/images/A15/q9_ipc.csv`,
- `results/images/A15/q9_ipc_max.csv`.

Width	Threads au max	IPC max
2	32	14.696
4	32	19.221
8	32	23.301

TABLE IV: IPC maximal pour chaque largeur (size=64).

Le maximum global observé est **IPC = 23.301**, obtenu pour `width=8` et `threads=32`.

G. Analyse de Résultats

a) *Limits d'exécution en gem5 (SE) : nombre de threads et stabilité*: Nous avions prévu d'explorer jusqu'à 64 threads, mais en pratique une limite nette de stabilité est apparue avec gem5-stable (mode SE) : au-delà d'un certain niveau de concurrence (dès `threads=40` dans nos essais), gem5 termine en `SIGSEGV` (`exit=139`), parfois après que le benchmark ait affiché `Done` (le calcul applicatif est fini, mais la simulation n'est pas finalisée correctement). Cette limite est attribuée à une instabilité du simulateur plutôt qu'à un bug fonctionnel de `test_omp` (voir le diagnostic expérimental dans `docs/report/sections/A15_boundary.md`).

Un point important est que, dans ce TP, `nthreads = ncores` est imposé en mode SE (librairie `pthreads` en développement) : dans notre flot, `threads` est couplé à `-num-cpus` côté gem5 (cf. sujet du TP `docs/consigne.pdf`). Autrement dit, augmenter `threads` augmente aussi le nombre de coeurs simulés, ce qui amplifie la pression sur la hiérarchie mémoire, la cohérence, et la synchronisation.

b) *Instabilité futex/mutex et mitigation -omp-active-wait (width ≥ 4)*: En plus de la limite « trop de threads », nous avons observé des échecs plus tôt pour des largeurs superscalaires plus élevées (à partir de `width=4`) quand le nombre de threads augmente. La cause la plus probable est liée au chemin de synchronisation OpenMP/libgomp en Linux : lors des barrières/verrous, libgomp utilise `futex` (*fast userspace mutex*) pour endormir/réveiller des threads sans consommer de CPU. Or, en gem5 SE (notamment sur des versions anciennes), la prise en charge de certains cas `futex` peut être incomplète/instable, et la fréquence accrue des synchronisations à forte concurrence augmente la probabilité de déclencher ce problème.

La mitigation utilisée est `-omp-active-wait` (décrise dans `scripts/A15/A15_commands.md`) qui injecte `OMP_WAIT_POLICY=ACTIVE` et un `GOMP_SPINCOUNT` très élevé : les threads attendent davantage en *spinning* en espace utilisateur, ce qui réduit les blocages/réveils

via `futex`. Concrètement, cela a permis de faire passer des combinaisons qui échouaient auparavant (par exemple `width=4` avec plusieurs threads), même si, à très forte concurrence, une instabilité résiduelle peut encore persister (voir `docs/report/sections/A15_boundary.md`).

c) *Pourquoi les cycles diminuent quand on augmente les threads (TLP/CMP)*: La Table I montre une tendance monotone : à largeur fixe, plus le nombre de threads est grand, plus le nombre de cycles diminue. Cela s'explique principalement par le parallélisme au niveau des threads (TLP) sur une architecture CMP : chaque thread OpenMP exécute une partie du travail (multiplication de matrices) sur un cœur distinct, et le temps total est gouverné par le cœur le plus long (métrique `max(system.cpu*.numCycles)`). En augmentant `threads`, on réduit la quantité de travail par cœur et on augmente le parallélisme global, donc le nombre de cycles d'exécution diminue.

Le gain reste cependant sous-linéaire (cf. Table III) à cause (i) des portions sérielles incompressibles (création/fin des threads, initialisations), (ii) des surcoûts de synchronisation (barrières OpenMP), et (iii) des effets de hiérarchie mémoire/cohérence quand beaucoup de coeurs accèdent aux mêmes structures de données (bus/mémoire partagés).

d) *Pourquoi les cycles diminuent quand on augmente la largeur superscalaire (ILP/OoO)*: À nombre de threads donné, on observe aussi une baisse des cycles quand `width` augmente (Table I). Ici, `width` correspond au degré de traitement superscalaire côté cœur (dans nos scripts, c'est `l.issueWidth` du modèle o3). Une largeur plus grande permet d'émettre davantage d'instructions par cycle quand le code présente suffisamment d'indépendances (ILP), et l'exécution out-of-order contribue à mieux cacher des latences (par exemple en chevauchant calculs et accès mémoire). Cela correspond au positionnement “hautes performances” du Cortex-A15, conçu pour exploiter agressivement l'ILP:

La différence entre `width=4` et `width=8` devient toutefois plus faible à forte concurrence : une partie des cycles est alors contrainte par la synchronisation et la mémoire partagée, et non plus uniquement par la largeur d'émission d'instructions (rendements décroissants).

e) *Lecture du graphe 3D*: La Figure 1 illustre la même tendance sous forme de surface : on observe une « colline » pour `threads` faibles et `width` faible (beaucoup de cycles), puis une descente progressive quand on augmente l'un et/ou l'autre paramètre. Le « vallon » de cycles minimaux correspond à la zone de plus forte exploitation conjointe du parallélisme TLP (plus de coeurs) et de l'ILP (coeurs plus larges), dans la limite des surcoûts mémoire/synchronisation.

f) *Speedup : pourquoi le maximum est à width=2 sans être le meilleur temps absolu*: Dans la Table III, le meilleur speedup est obtenu pour `width=2` et `threads=32` ($S = 6.759$), supérieur à `width=4` (4.515) et `width=8` (4.454). Ce résultat s'explique d'abord par la définition du speedup : $S(w, t) = C_{w,1}/C_{w,t}$. Or, le cas mono-thread à `width=2` est nettement plus lent ($C_{2,1}$ est bien plus grand que $C_{4,1}$ et $C_{8,1}$,

Table II), ce qui donne mécaniquement davantage de “marge” pour augmenter le ratio.

Ensuite, avec des cœurs plus larges (`width=4/8`), chaque cœur produit plus de requêtes et atteint plus vite un régime limité par des ressources partagées (mémoire, cohérence, barrières OpenMP). On « plafonne » donc plus tôt en speedup relatif, même si le temps absolu continue de baisser. En performance pure (cycles minimaux), la meilleure configuration observée est `width=8, threads=32` (299 612 cycles, Table I). Ainsi, le “gagnant” dépend du critère : `width=2` maximise le speedup relatif, tandis que `width=8` minimise les cycles (et correspond mieux à une configuration A15 performante).

g) *IPC : maximum à `threads=32` et notion de « configuration la plus efficace »:* La Table IV montre que, pour chaque largeur, l’IPC maximal est atteint à `threads=32`, et que le maximum global est obtenu pour `width=8, threads=32` avec $IPC = 23.301$. Dans notre extraction, l’IPC est calculé comme `sim_insts/cycles` avec `cycles = max(system.cpu*.numCycles)` : c’est donc un *IPC global* (débit d’instructions agrégé sur la durée critique), qui augmente naturellement quand on ajoute des cœurs/threads et quand les cœurs sont plus capables de retirer des instructions.

Dans le cadre de ce TP et de cette métrique, `width=8, threads=32` est bien la configuration la plus “efficace” au sens *débit par cycle* et aussi la plus performante en cycles. En revanche, cela ne préjuge pas de l’efficacité énergétique ou du coût matériel (non modélisés ici), et le fait que `threads=32` soit maximal reflète aussi notre limite opérationnelle de stabilité (au-delà, gem5 devient instable).

REFERENCES

- [1] TP5, “Analyse de performances de configurations de microprocesseurs multicoeurs pour des applications parallèles,” document de travaux pratiques du cours.
- [2] O. Hammami, *Introduction à l’Architecture des Microprocesseurs*, ENSTA ParisTech, 828 Bd des Maréchaux 91762 Palaiseau cedex, <https://www.ensta-paristech.fr>, ENSTA PARIS - Cours ES201, Année 2022.